

Erinnerung

Historie + Phänomene

Newton:

1. Lösung durch D.G.
2. Ellipse
3. Kepler
4. Einsteins: Periheldiskordanz.
5. 2. Lösung durch \int
6. $H(t)$
7. Bewegung im Sonnensystem
8. Ebbe + Flut
- 9) mögl. Balkenwellen
- 10) Diskussion des Hypothese
Stern X.

I Erinnerung.

Masse m bewegt sich im Zentralpotential $V(r)$

→ 1 dim. Problem wg. Drehimpulserhaltung

1. Gehe in Ebene \perp zu $\vec{L} = [\vec{r} \times \vec{p}]$

Führe durch Polarkal. die r, φ

Drehimpulserhaltung: $mr^2\dot{\varphi} = L$

$$\tilde{E} = \frac{m}{2} \dot{r}^2 + U_{\text{eff}}(r)$$

$$U_{\text{eff}} = V(r) + \frac{L^2}{2mr^2}$$

$$\tilde{L} = \frac{m}{2} \dot{r}^2 - U_{\text{eff}}(r)$$

Aus Energierhaltung

Dynam. $t = \int_{r(t_0)}^r \frac{dr}{\sqrt{\frac{2}{m} (\tilde{E} + U_{\text{eff}})}} \rightarrow t(r)$
 \downarrow
 $\tau(t)$

Geometr. $\varphi = \int \frac{\frac{L}{mr^2} d\tau}{\sqrt{\frac{2}{m} (\tilde{E} - U_{\text{eff}})}} \rightarrow \varphi(r)$
 \downarrow
 $\tau(\varphi)$

Keppler problem

D Hist Keppler hatte das Problem gelöst.

Er fand:

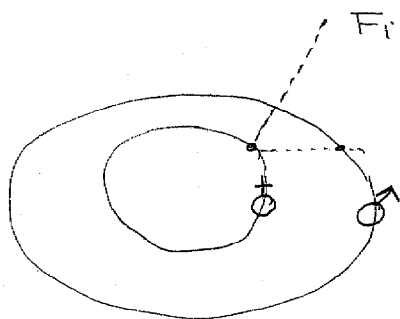
1) Planeten bew. sich auf Ellipsenbahnen, in deren einem Brennpunkt die Sonne steht

2) Flächengeetz: Flächenhälfte von Sonne zum Planeten übertragen in gleichen Zeiten gleiche Flächen

3) $T^2/a^3 = \text{konst}$ f. alle Planeten.

Hist. Einige schwierige Auseinand.

do Beobachtungsdaten:



2 unbekannte Bahnen, nur 2 Mess.

Konkurrende Theorie

Kopernikus: Exzentrische Kreise
(sehr ähnlich EllipSEN)

Motiv für Kepler: Sonne nahm im Kopernikuschen System keine ausgewachsene Rolle ein.

Galilei kritisierte die Keplerschen Ellipsen, Kreis ist die vollkommenste Bahnkurve (Abneigung gegen ~~Matriarchat~~ ?).

Keplerproblem von Newton gelöst.

2. Ges. go go, aus Zentralkraft.

3. Ges. Für Kreise aus Zentri-fugal = Zentri-petal

$$F_z = \frac{m_1}{2} \frac{v^2}{R} = \frac{m_1}{2} \frac{(2\pi)^2 R^2}{T^2 R}; \text{ Kepler 3} \rightarrow T^2 \sim R^3 \rightarrow F_z \sim \frac{1}{R^2}$$

2. Lösung

Newton:

$$V(r) = - \frac{m_1 \cdot m_2 \cdot G_{\text{W}}}{r}$$

$\rightarrow 1, 2, 3$

$$G_{\text{W}} = 6.6 \cdot 10^{-11} \text{ N}^3 \text{ kg}^{-1} \text{ sec}^{-2}$$

a) D.G.

Viele Möglichkeiten der Lösung.

Nach meines Meinung die eleganteste:

(3)

$$m \ddot{r} = - \frac{\partial U_{\text{eff}}}{\partial r} = \frac{-m_1 m_2 \cdot G_N}{r^2} + \frac{L^2}{mr^3}$$

m = red. Masse!

weil es nichts kostet, lassen wir die zusätzliche Kraft $-m \cdot \gamma \frac{1}{r^3}$ zu

Abkürzen: $\left| \begin{array}{l} m_1 \cdot m_2 \cdot G_N / m = \kappa \\ \frac{L}{m} = l \quad l = r^2 \cdot \dot{\phi} \end{array} \right.$

$$\ddot{r} = - \frac{\kappa}{r^2} + (l^2 - \gamma) \frac{1}{r^3} \quad l^2 - \gamma = l'^2$$

1. Schritt. $t \rightarrow \phi$

$$\dot{r} = \partial_\phi \cdot r \cdot \dot{\phi} = \frac{l}{r^2} \partial_\phi r = -l \left(\partial_\phi \frac{1}{r} \right)$$

$$\ddot{r} = - \frac{l^2}{r^2} \left(\partial_\phi^2 \frac{1}{r} \right) \quad \frac{1}{r} \equiv u$$

$$-l^2 u^2 \partial_\phi^2 u = -\kappa u^2 + l'^2 u^3$$

$$\partial_\phi^2 u = -\frac{l'^2}{l^2} u + \frac{\kappa}{l^2}$$

harmon. Oszg. in konst. Feld.

$$y = u - \frac{\kappa}{l'^2}$$

$$\partial_\phi^2 y = -\frac{l'^2}{l^2} y$$

$$y = A \cdot \cos \left(\frac{l'^2}{l^2} \phi - \varphi_0 \right) = \frac{1}{r} - \frac{\kappa}{l'^2}$$

$r = \frac{\frac{l'^2}{l^2} / \kappa}{1 + \frac{l'^2}{\kappa} \cdot A \cdot \cos \left(\frac{l'^2}{l^2} \phi - \varphi_0 \right)}$

M

(4)

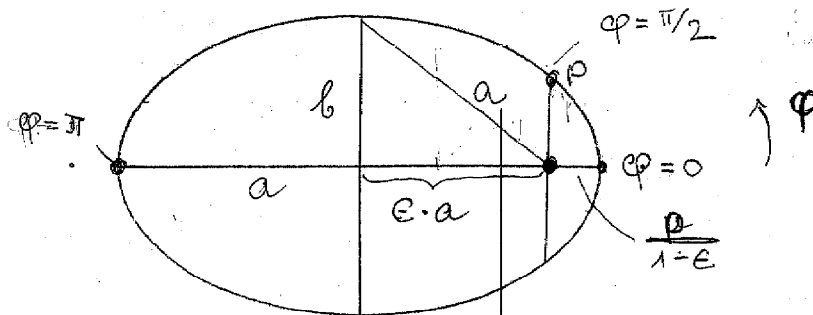
Wir setzen nun $\varphi = 0$ d.h. $\ell^2 = \ell'^2$

führen eine $p = \ell^2/\kappa$

$$\epsilon = \frac{\ell^2}{\kappa} \cdot A ; \quad \varphi_0 = 0$$

$$T(\varphi) = \frac{p}{1 + \epsilon \cdot \cos \varphi}$$

Fokal darstellt eine Ellipse



$$\epsilon_\varphi = 0.2$$

$$\epsilon_\varphi = 0.007$$

$$\epsilon_\delta = 0.017$$

$$\epsilon_\sigma = 0.09$$

$$\epsilon_\tau = 0.05$$

$$\epsilon_p = 0.25$$

$$2a = \frac{p}{1+\epsilon} + \frac{p}{1-\epsilon} = \frac{2p}{1-\epsilon^2}$$

$$a^2 + b^2 = \epsilon^2 a^2 \quad \text{Ellipsenbed.}$$

$$a = \frac{p}{1-\epsilon^2} \quad b = \frac{p}{\sqrt{1-\epsilon^2}} \quad \text{Hans: } b/a = 0.996$$

3. Keplers

Umlaufszeit

$$\frac{d\varphi}{dt} = \frac{\ell}{r^2} \quad dt = \frac{r^2}{\ell} \cdot d\varphi$$

$$dF = \frac{1}{2} r^2 d\varphi \quad \text{Periode: } T = \frac{1}{2} \int_0^{2\pi} r^2 d\varphi = \frac{1}{2} \int_0^{2\pi} 2dF = \frac{2F}{\ell} =$$

$$\text{Ellipse: Fläche} = \pi \cdot a \cdot b$$

$$\Rightarrow T = 2\pi \frac{p^2}{(1-\epsilon^2)^{3/2}} \quad \frac{1}{\ell} = 2\pi a^{3/2} p^{1/2} \frac{1}{\ell}$$

$$= 2\pi a^{3/2} \frac{\ell}{\sqrt{\kappa^3} \cdot \ell}$$

$$T^2/a^3 = \frac{(2\pi)^2}{\kappa}$$

(5)

$$\kappa = \frac{\frac{m_p \cdot m_\odot}{m_p + m_\odot} G_N}{\frac{m_p \cdot m_\odot}{m_p + m_\odot}} = (m_p + m_\odot) \cdot G_N$$

Ob. κ nicht streng universell, doch in unseren Planetensystem.

$$m_\odot = 1 \text{ ges.}$$

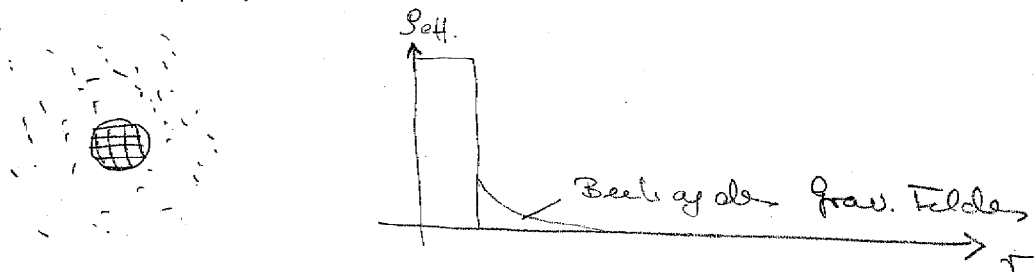
$$m_\odot = 3.23 \cdot 10^{-7}$$

$$m_H = 9.5 \cdot 10^{-4}$$

aber bei Doppelsternen wichtig!

Einstudie Einführung Perihel der Sonne
Allg. Relativ.

Nicht nur die Masse, sondern auch das Gravitationsf. selbst tragt zur Gravitation bei $\sim 1/F^2$



$$\text{Gravitationsfeld } \sim \frac{1}{r^2}, \quad g \sim \frac{1}{r^4}$$

$$\sim U_F(r) = \frac{1}{r} \int_{\infty}^r \frac{1}{r^4} r^2 dr \sim \frac{1}{r^2}$$

$$\text{Ob. Zusatzkraft } -mg \frac{1}{r^3}$$

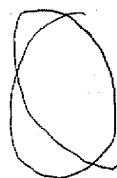
Ob. nach ART $\ell' \neq \ell$ und zwar $\ell' < \ell$

(6)

Mache Formel (H) mit $\varphi_0 = 0$

1. Perihel bei $\varphi = 0$

2. Perihel bei $\varphi = \frac{\ell^2}{\ell'^2} 2\pi$



Präzession des Perihels.

$$\frac{\ell'^2}{\ell^2} = \frac{\ell^2}{\ell^2 - y^2} \sim 1 + \frac{y^2}{\ell^2}$$

Präzession um so größer
je kleiner ℓ .

Abschätzung $\dot{\varphi} \sim 2\pi a / T$ $\ell^2 = \frac{2a^4 \pi^2 T^2}{T^2}$

$T^2 \sim a^3$ $\ell^2 \sim a^3$ d.h. Effekt umso
starker, je kleiner a . Dazu bei Merkur-Orb.

1. Exp. Bestätigung des ART

Ende Erscheinb.

♀	$43.03''/\text{Jahr}$	$\overset{\text{Th.}}{\text{Exp}}$
+		43.11

♀	$8.6''/\text{Jahr}$	8.4
---	---------------------	-----

♂	$3.8''/\text{Jahr}$	5.9
---	---------------------	-----

Minimale gegen sonda. Einflüsse

Integral 2. Art der Ketten.

(7)

Gehört aus von Energie abz

$$\dot{r} = \sqrt{\frac{2E}{m} + \frac{2\mu_1\mu_2\cdot h^2}{m\kappa^2} - \frac{l^2}{r^2}}$$

$$dt = \int \frac{dr}{\dot{r}} \rightarrow d\varphi = \int \frac{dr}{\sqrt{\dots}}$$

$$\varphi = \int \frac{du}{\sqrt{\frac{2E}{m\kappa^2} + \frac{2\mu_1\mu_2}{l^2}u - u}}$$

Integraltafel: (S. Anlage)

$$\int \frac{dx}{\sqrt{a + bx - x^2}} = \arccos \frac{-b + 2x}{\sqrt{b^2 + 4a}}$$

ein gesetzt ergibt

$$\varphi = \pm \arccos \frac{\frac{l^2 u}{\kappa} - 1}{\sqrt{1 + \frac{2E l^2}{m \kappa^2}}}$$

aufgelöst nach $u \rightarrow$

$$T = \frac{\frac{l^2}{\kappa}}{1 + \sqrt{1 + \frac{2E l^2}{m \kappa^2}} \csc \varphi}$$

$\partial u \in$ direkt aus E und l

$$u = \sqrt{1 + \frac{2E l^2}{m \kappa^2}}$$

*

Bew. deshalb Maßlosheit

7a

$$x = \cos(\arccos x) \quad \text{diff } \partial_x$$

$$1 = \sin(\arccos x) \cdot \partial_x \arccos x$$

$$\partial_x \arccos x = \frac{1}{\sin(\arccos x)}$$

$$= \frac{1}{\sqrt{1 - \cos^2(\arccos x)}} = \frac{1}{\sqrt{1 - x^2}}$$

$$\frac{1}{\sqrt{a + bx - x^2}} \rightarrow \frac{1}{\sqrt{-\frac{b^2}{4} + bx - x^2 + a + \frac{b^2}{4}}}$$

$$= \frac{1}{\sqrt{\left(a + \frac{b^2}{4}\right) - (x - b/2)^2}} = \frac{1}{\sqrt{\left(a + \frac{b^2}{4}\right)} \sqrt{1 - \left(\frac{(x - b/2)}{\sqrt{a + \frac{b^2}{4}}}\right)^2}}$$

$$y = \frac{x - b/2}{\sqrt{a + \frac{b^2}{4}}} \quad dx = dy \cdot \sqrt{a + \frac{b^2}{4}}$$

$$\int \frac{dx}{\sqrt{\dots}} = \int \frac{dy}{\sqrt{1 - y^2}}$$

Letzte Stunde

8.

$$V(r) = -\frac{mK}{r} \left(-\frac{m\gamma}{2r^2} \right)$$

→ entweder durch Lsg. der DGL oder durch Integration

$$r(\varphi) = \frac{p}{1 + e \cos\left(\frac{\ell'^2}{\ell^2}\varphi\right)}$$

$$\text{DGL: } p = \ell^2/\kappa \quad E = \frac{\ell^2}{\kappa} \cdot A$$

$$\int : \quad p = \ell^2/\kappa \quad e = \sqrt{1 + \frac{2E\ell^2}{m\kappa^2}}$$

$$\ell = |\vec{L}|/m ; \quad E = \frac{w}{2} \dot{r}^2 + U_{\text{eff}}(r)$$

$$m = m_1 \cdot m_2 / (m_1 + m_2)$$

$$\text{Newton} \quad \kappa = \frac{m_1 \cdot m_2 G_N}{m} = G_N (m_1 + m_2) \cdot \frac{\ell'^2}{\ell^2} =$$

post-Newton $\gamma > 0$, aber klein ($\sim G_N^2$)

In folgendem: $\gamma = 0$ betrachtet.

$r(\varphi)$ Fokaldarstellung des Kegelschnitts

$E = 0$ Kreis

$0 \leq E < 1$ Ellipse

opto

$E = 1$ Parabel

$E > 1$ Hyperbel

Dynamische Kreise, d.h. zeitliche $\tau(t)$

9m

$$\dot{\varphi} = \frac{l}{\tau^2} \quad \frac{dt}{d\varphi} = \frac{1}{l} \tau^2 = \frac{l^4}{l\kappa^2(1+\epsilon \cos\varphi)^2}$$

$$\text{d.h. } t = \frac{l^3}{\kappa} \int_0^\varphi \frac{d\varphi'}{(1+\epsilon \cos\varphi')^2} = 2 \arctan \frac{(1-\epsilon) \tan \varphi/2}{\sqrt{1-\epsilon^2}} - \frac{\epsilon \sin \varphi}{(1-\epsilon^2)} \quad \text{nicht ausdrücken}$$

daraus $\varphi(t)$ und $\tau(\varphi(t))$.

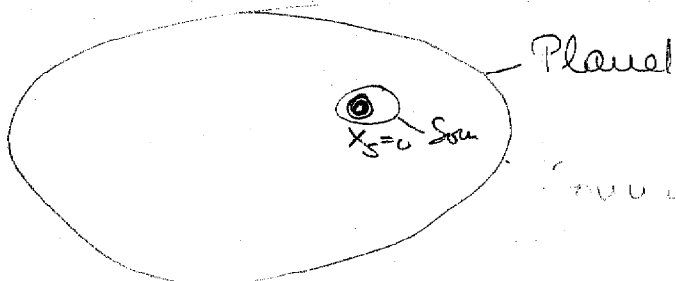
Bahnbewegung im Inertialsystem (Wh.)

$$\vec{x} = \vec{x}_1 - \vec{x}_2 \quad \vec{x}_s = \frac{m_1 \vec{x}_1 + m_2 \vec{x}_2}{(m_1 + m_2)}$$

aufgelöst

$$x_1 = \frac{m_2}{M} \vec{x} + \vec{x}_s \quad \vec{x}_s \\ x_2 = -\frac{m_1}{M} \vec{x} + \vec{x}_s$$

D.h. "Planet" (m_1) und "Sonne" bewegen sich um gemeinsamen Schwerpunkt.



Wichtig für gezeiten.

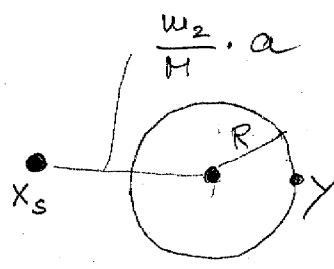
Gezeiten

10u

Erde-Mond Systeme

$$M_1 = M_{\oplus}; M_2 = M_{\odot} \quad m_2/m_1 \sim 1/181 \quad T \sim 28 \text{ d.}$$

$$r_{\oplus} - r_{\odot} = a$$



$$R_{\oplus} \sim 6.4 \cdot 10^6 \text{ m} = m_1 + m_2 \sim M_{\oplus}$$

Erde Ellipse um Schwarzscheit

(überschrieben)

Vereinfachung: Kreisbahn

$$\text{Dann gilt } \ddot{\varphi} = 0 \rightarrow \partial_r U_{\text{eff}}(0) \quad m = \frac{m_1 m_2}{M}$$

$$+ \frac{m_1 m_2 G_N}{a^2} - \frac{2L^2}{2m a^3} = 0$$

$$\frac{m_1 m_2 G_N}{a^2} = \frac{m^2 a^4 \dot{\varphi}^2}{m a^3} \Rightarrow m a \dot{\varphi}^2$$

$$\frac{M G_N}{a^3} = \left(\frac{2\pi}{T}\right)^2 \quad (\text{Kepl. 3 für Kern})$$

Körper der Masse μ , der mit der Erde bewegt wird, um Mond für Punkt Y

$$F_{\mu} = F - \frac{\mu \cdot m_2 G_N}{(a+R)^2} + \mu \left(\frac{m_2}{M} (a+R) \right) \dot{\varphi}^2$$

$$\frac{1}{(a+R)^2} = \frac{1}{a^2 \left(1 + \frac{R}{a}\right)^2} = \frac{1}{a^2} \left(1 + \frac{R}{a}\right)^{-2} = \frac{1}{a^2} \left(1 - 2 \frac{R}{a} + \dots\right)$$

$$-\frac{\mu m_2 G_N}{a^2} + \frac{\mu m_2 G_N R^2}{a^3} + \mu \frac{m_2}{M} a \dot{\varphi}^2 + \mu \cancel{R} \dot{\varphi}^2$$

$$+ \frac{\mu m_2}{M} \left(-\frac{M G_n}{a^2} + a \dot{\phi}^2 \right) + \frac{2\mu m_2 G_n R}{a^3} + \frac{\mu m_2}{M} R \dot{\phi}^2$$

$\nearrow K_3$

$$F_\mu = \frac{2\mu m_2}{M} R \left(\frac{2\pi}{T} \right)^2 + \frac{\mu m_2}{M} R \left(\frac{2\pi}{T} \right)^2$$

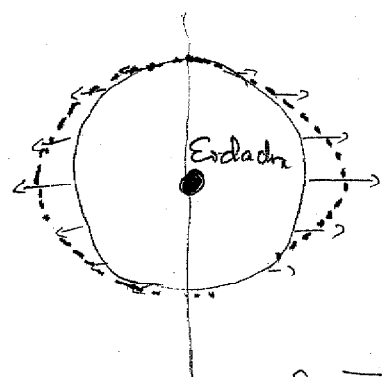
$$\overline{F}_\mu = \mu \cdot \frac{m_2}{M} \cdot R \left(\frac{2\pi}{T} \right)^2$$

$$= \mu \cdot 10^{-4} \text{ N s}^{-2} \quad \frac{1.6 \cdot 81}{1.6 \cdot 27}$$

Dazu kommt Schwerkraft 27

$$F_G = \mu \cdot g = \mu \cdot 9.81 \text{ m s}^{-2}$$

Die Wirkung des Mondes sehr klein.
macht sich dennoch bemerkbar, bei Gezeiten



Vertikal komp. vernein.
klein

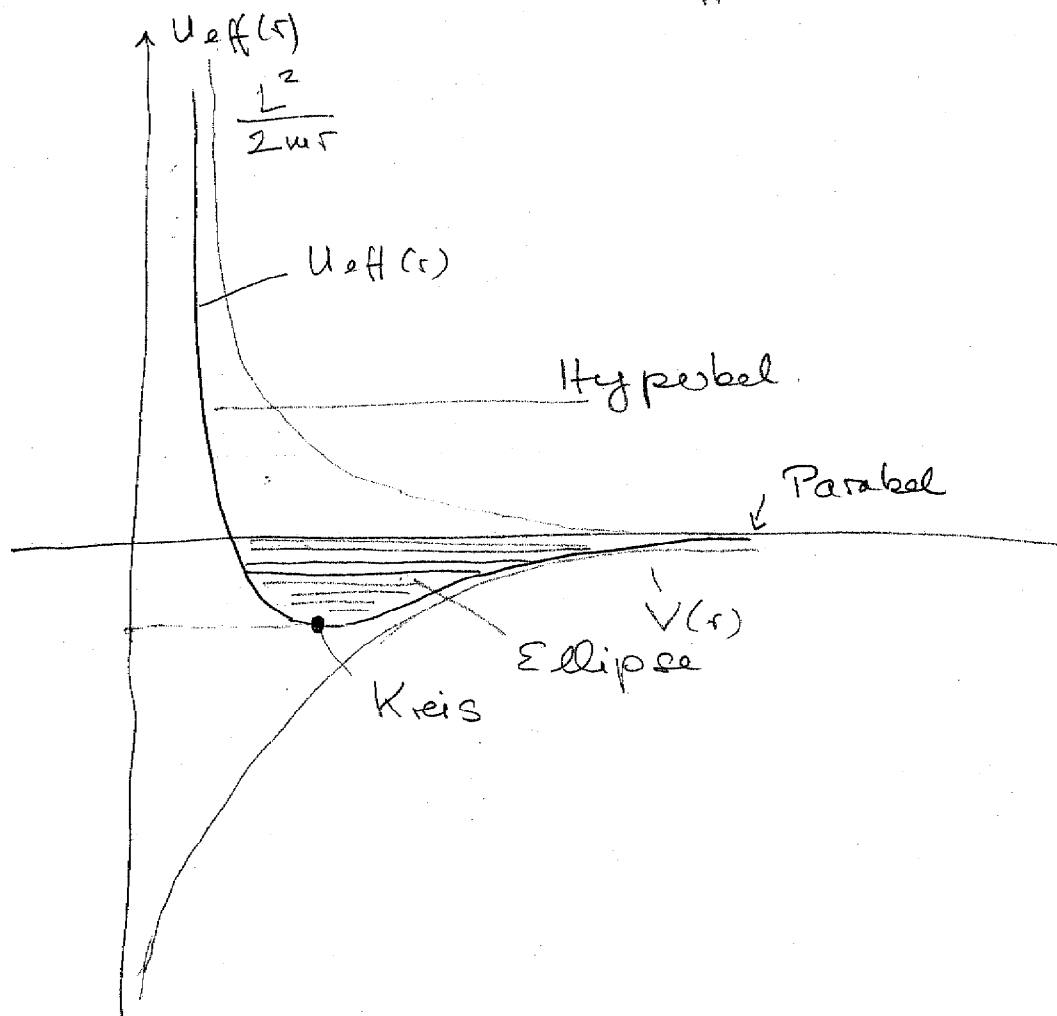
Nur Horizontal komp.
bewirkt Verschiebung
des H2O

2 Flutbäume, die zum Mond
und vom Mond weg zeigen

Darunter dreht sich die Erde \rightarrow Ebbe + Flut.
Spring + Mittflut.

Gezeitenkräfte bei LEP: führen zu Verformung
der Speicherkette, daher schreib. Abh. d.
 m_2 , vom Mondstand!

Deutlich sichtbar im effekt. Pol.



Bahnparameter und dynamische Größen.

$$\epsilon^2 = 1 + \frac{2E\ell^2}{m\omega^2}$$

Ellipse:

$$a = \frac{p}{1 - \epsilon^2} = \frac{-\ell^2}{\kappa \left(\frac{2E\ell^2}{m\omega^2} \right)} = -\frac{m\omega}{2E}$$

$$E = -\frac{m\omega}{2a}$$

st. nur abh. von großer HA

Winkel



gleiche Energie
(Bolzsonnefeld)

$$\ell^2 = \frac{mk^2(\epsilon^2 - 1)}{2E} = ka(\epsilon^2 - 1)$$

Bemerkung Kepler 3 $\frac{T^2}{a^3} = \frac{4\pi^2}{k}$ mit

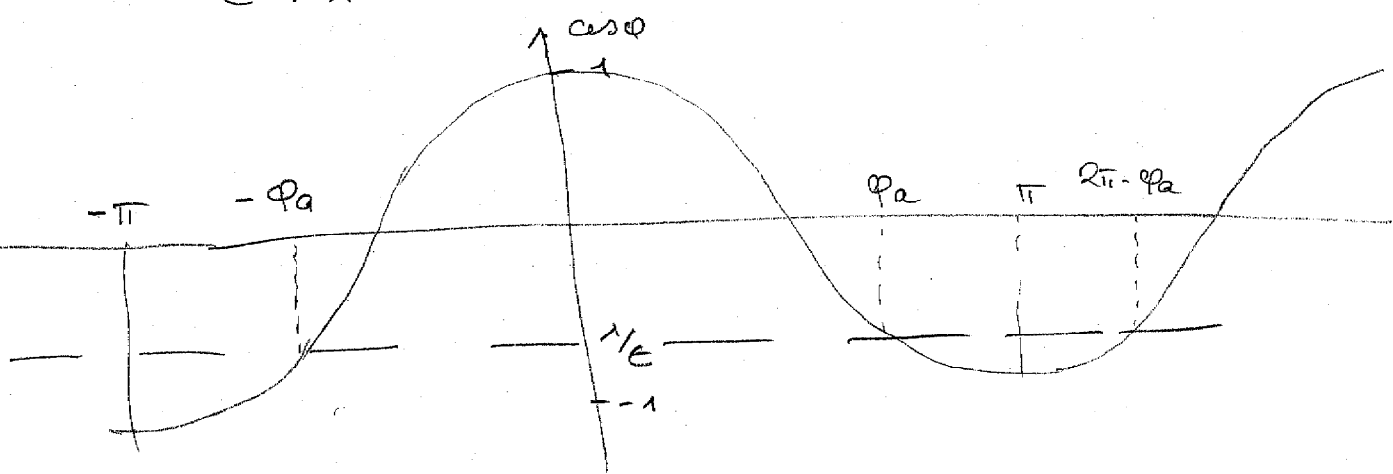
$$\ell^2 = (1 - \epsilon^2) \frac{2\pi a^4}{T} \quad (\text{Kreis } \epsilon=0 \checkmark)$$

MP3

Discussion du Hyperbel

Hyperbol

$$\epsilon > 1$$



$$p > 0 \text{ (unus bei Gravitation)} \quad \cos \varphi_a = -\frac{1}{\epsilon}$$

→ Ablenkungswinkel

$$\vartheta = 2\varphi_a - \pi$$

$$\epsilon = 1 \quad \varphi_a = \pi \quad \vartheta = \pi$$

$$\epsilon = 0 \quad \varphi_a = \frac{\pi}{2} \quad \vartheta = 0$$

Bestimmung der von ϵ und p .

$t \rightarrow -\infty$; Planet auf asymptote

Abstand von Zentralkörper b
(Stopfparameter)

Geschwindig. v_∞

$$U_{\text{eff}} \rightarrow 0 \rightarrow E = \frac{m}{2} v_\infty^2$$

$$\ell = \frac{1}{m} [\vec{r} \times \vec{p}] = [\vec{r} \times \vec{v}] = v \cdot r = v \cdot b$$

$$p = \frac{\ell^2}{\kappa} = \frac{v^2 b^2}{\kappa}; \quad \epsilon = \sqrt{1 + \frac{v^4 b^2}{\kappa^2}}$$

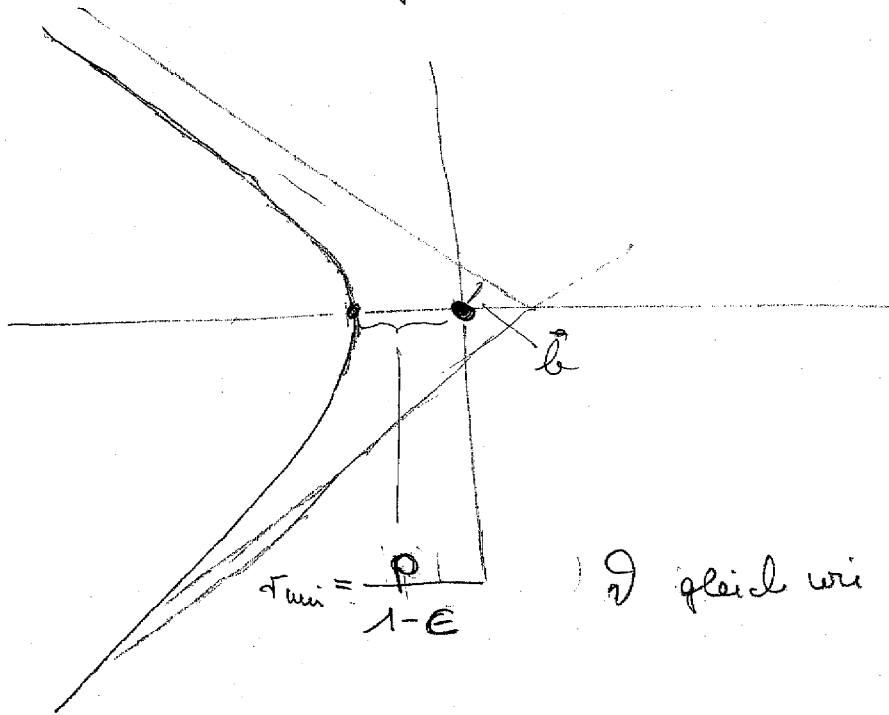
$$\sin\left(\frac{\theta}{2}\right) = \frac{1}{\sqrt{1 + \frac{v^4 b^2}{\kappa^2}}} \quad T_{\min} = \frac{l^2}{\kappa(1 + \sqrt{1 + \frac{v^4 b^2}{\kappa^2}})}$$

$$\kappa = \frac{m_1 \cdot m_2 \cdot G_N (m_1 + m_2)}{m_1 \cdot m_2} \quad \text{bei Gravitation.}$$

bei Elektrostatik

$$\kappa = \frac{-\epsilon_1 \cdot \epsilon_2 (m_1 + m_2)}{(m_1 \cdot m_2)} \quad \text{kann + und - sein.}$$

sei $\kappa < 0$ (gleichnam. Ladungen, Abstoß)

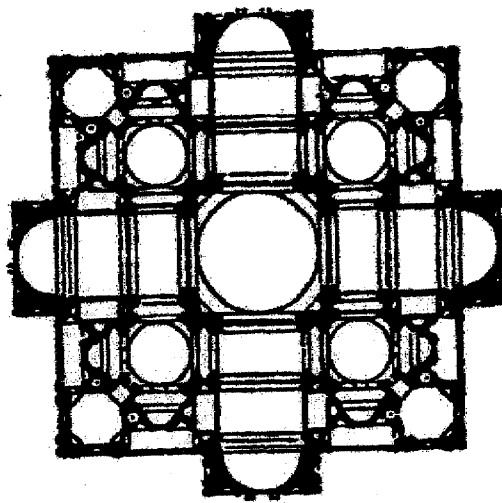


\Rightarrow gleich wie bei Kräften.

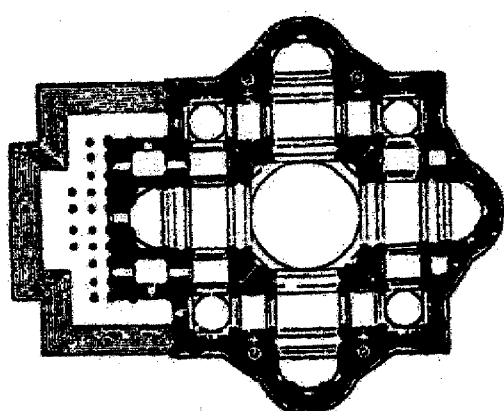


Gabin 1564-1642

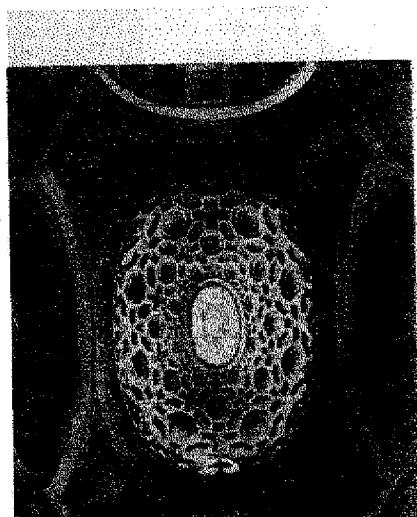
Explor. 1571-1630



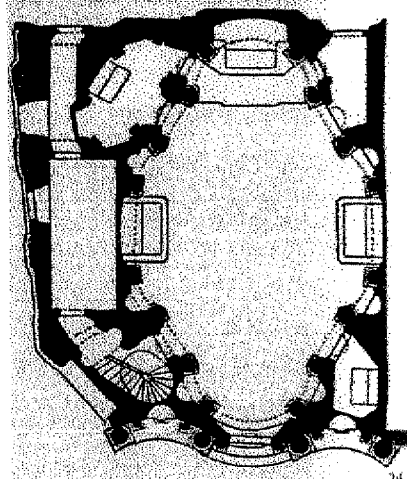
Bramante (1444—1514): Entwurf von 1505. Originalatlas nicht erhalten.



Michelangelo (1475—1564): Entwurf von 1547.



246



247

Roma: S. Carlo alle Quattro Fontane. Carlo Borromini (1599 bis 1677). — 239. Längs. 16,8 m. 240. Kuppel. — 241. Fassade. Seit. 1662. — 242. Grundriss.